

$$\mathcal{E}_1 = - \frac{d\psi}{dt}$$

引起磁通量变化的原因

(1) 稳恒磁场中的导体运动，或者回路面积变化、取向变化等

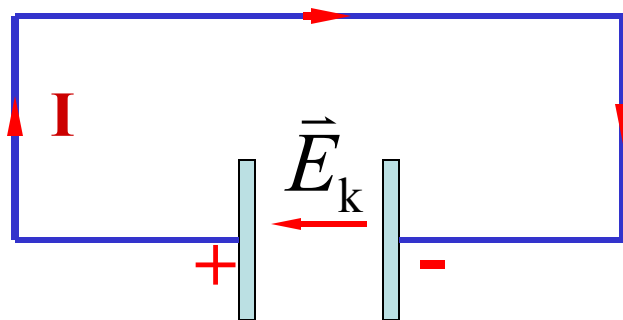
→ 动生电动势

(2) 导体不动，磁场变化

→ 感生电动势



◆ 电动势 $\mathcal{E} = \int_{-}^{+} \vec{E}_k \cdot d\vec{l}$



\vec{E}_k : 非静电的电场强度.

◆ 闭合电路的总电动势 $\mathcal{E} = \oint_l \vec{E}_k \cdot d\vec{l}$



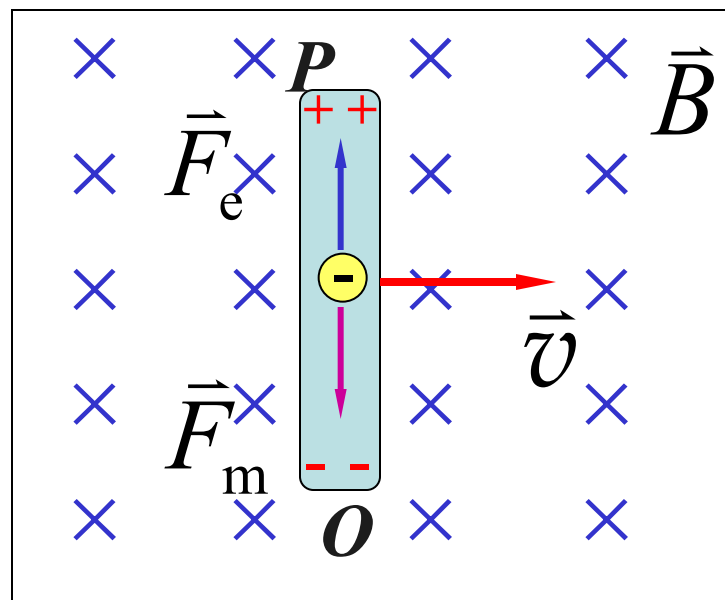
一 动生电动势

动生电动势的**非**静电力场来源 \longrightarrow 洛伦兹力

$$\vec{F}_m = (-e)\vec{v} \times \vec{B}$$

平衡时 $\vec{F}_m = -\vec{F}_e = -e\vec{E}_k$

$$\vec{E}_k = \frac{\vec{F}_m}{-e} = \vec{v} \times \vec{B}$$



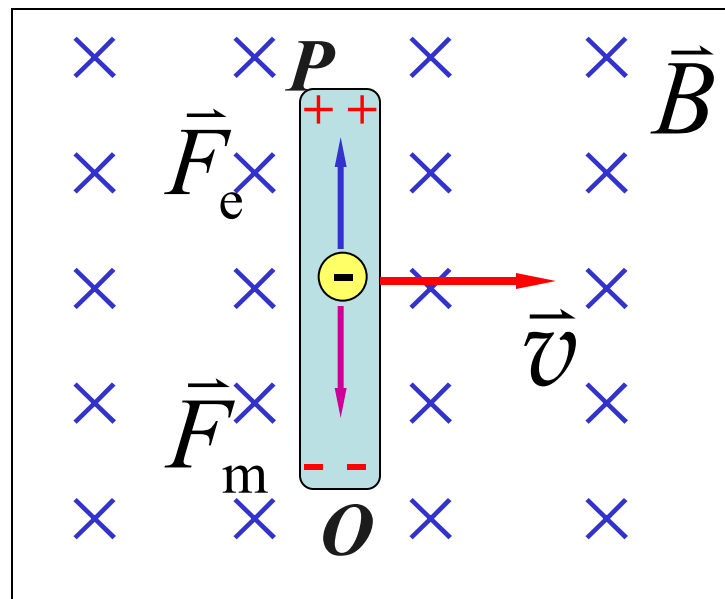
$$\mathcal{E}_1 = \int_{OP} \vec{E}_k \cdot d\vec{l} = \int_{OP} (\vec{v} \times \vec{B}) \cdot d\vec{l}$$



$$\mathcal{E}_1 = \int_{OP} \vec{E}_k \cdot d\vec{l} = \int_{OP} (\vec{v} \times \vec{B}) \cdot d\vec{l}$$

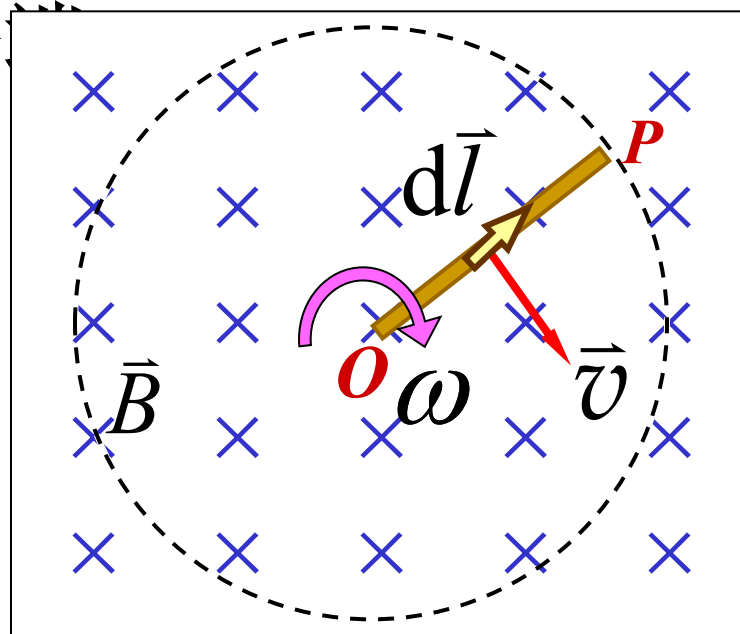
设杆长为 l

$$\mathcal{E}_1 = \int_0^l v B dl = vBl$$



例1 一长为 L 的铜棒在磁感强度为 \vec{B} 的均匀磁场中，以角速度 ω 在与磁场方向垂直的平面上绕棒的一端转动，**求** 铜棒两端的感应电动势。

解 根据楞次定律，判断感应电动势的方向



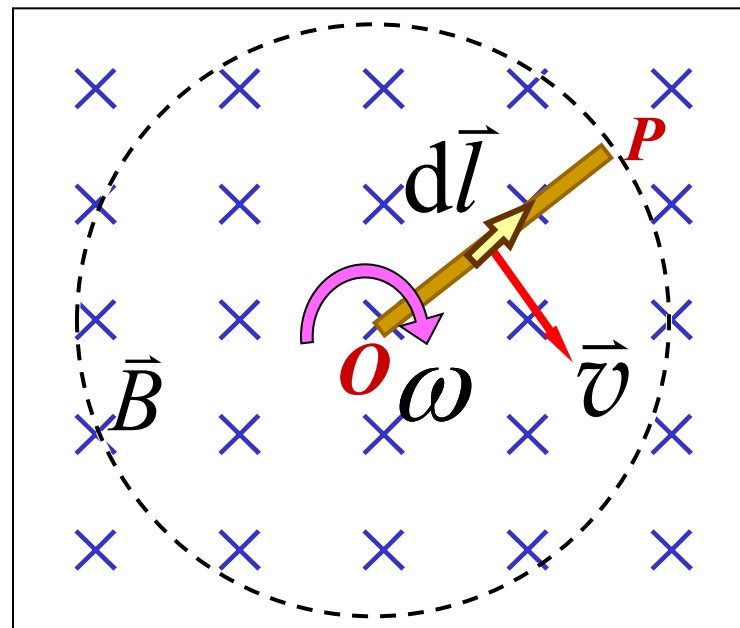
\mathcal{E}_1 方向 $O \longrightarrow P$



$$\begin{aligned}d\mathcal{E}_i &= (\vec{v} \times \vec{B}) \cdot d\vec{l} \\ &= vBdl\end{aligned}$$

$$\begin{aligned}\mathcal{E}_1 &= \int_0^L vBdl \\ &= \int_0^L \omega l B dl\end{aligned}$$

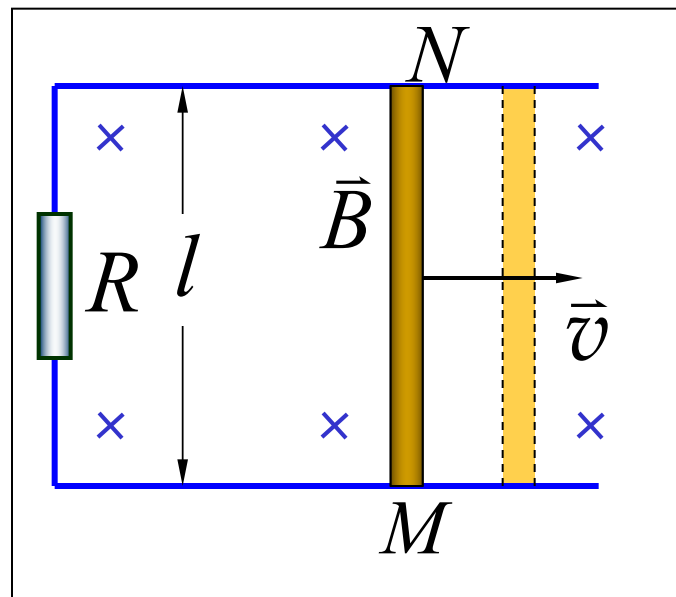
$$\mathcal{E}_1 = \frac{1}{2} B \omega L^2$$



\mathcal{E}_1 方向 $O \longrightarrow P$



例2 一导线矩形框的平面与磁感强度为 \vec{B} 的均匀磁场相垂直. 在此矩形框上, 有一质量为 m 长为 l 的可移动的细导体棒 MN ; 矩形框还接有一个电阻 R , 其值较之导线的电阻值要大得很多. 开始时, 细导体棒以速度 \vec{v}_0 沿如图所示的矩形框运动, 试求棒的速率随时间变化的函数关系.



解 如图建立坐标

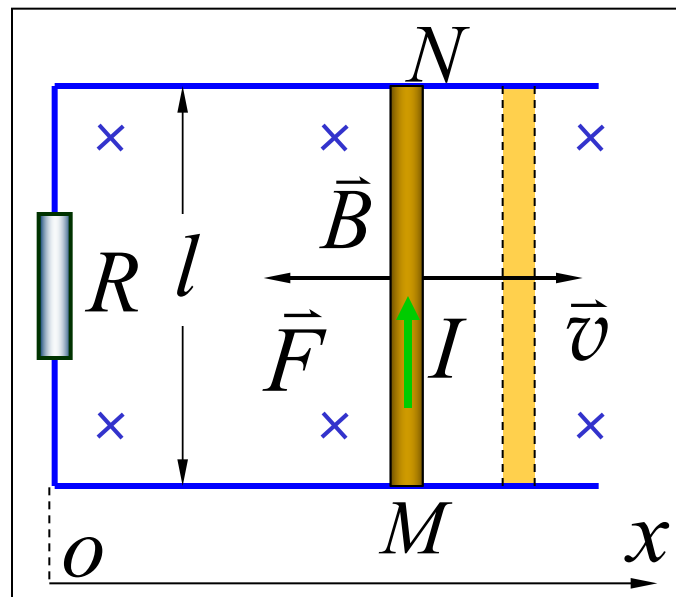
棒中 $\mathcal{E}_1 = Blv$ 且由 $M \xrightarrow{\text{red arrow}} N$

$$F = IBl = \frac{B^2 l^2 v}{R} \quad \text{方向沿 } Ox \text{ 轴反向}$$

$$m \frac{dv}{dt} = - \frac{B^2 l^2 v}{R}$$

$$\text{则 } \int_{v_0}^v \frac{dv}{v} = - \int_0^t \frac{B^2 l^2}{mR} dt$$

$$v = v_0 e^{-(B^2 l^2 / mR)t}$$



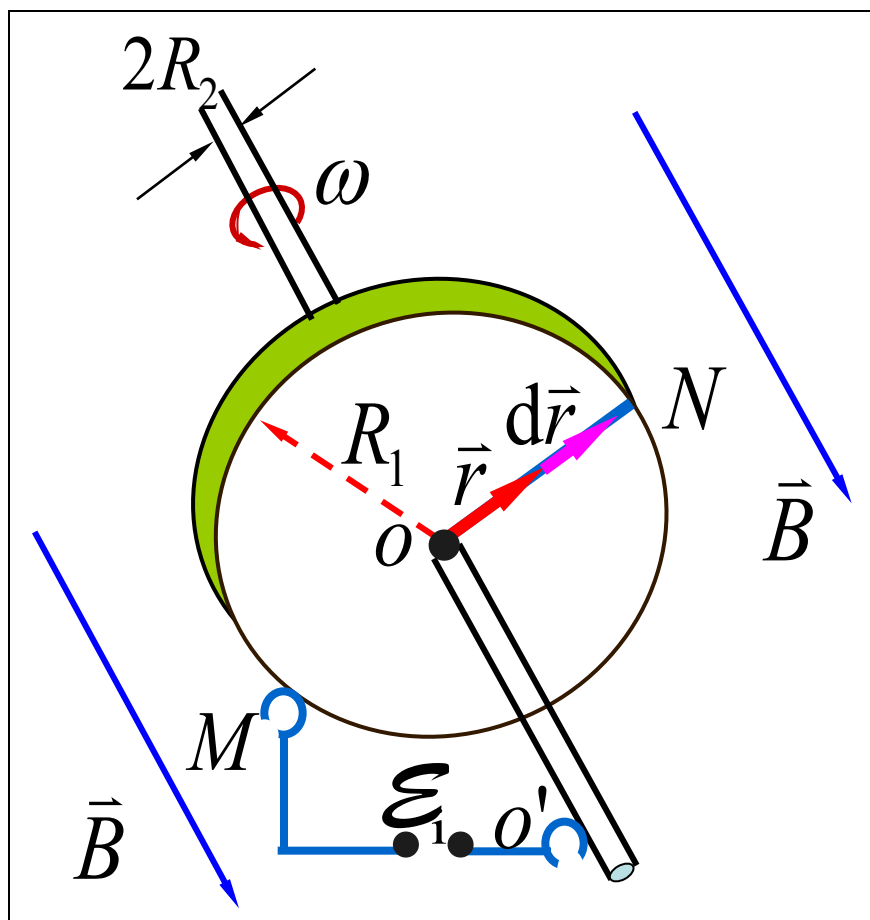
例 3 圆盘发电机，一半径为 R_1 的铜薄圆盘，以角速率 ω ，绕通过盘心垂直的金属轴 O 转动，轴的半径为 R_2 ，圆盘放在磁感强度为 \vec{B} 的均匀磁场中， \vec{B} 的方向亦与盘面垂直. 有两个集电刷 a ， b 分别与圆盘的边缘和转轴相连. 试计算它们之间的电势差，并指出何处的电势较高.



解 (方法一) 因为 $d \ll R_1$, 所以不

计圆盘厚度.

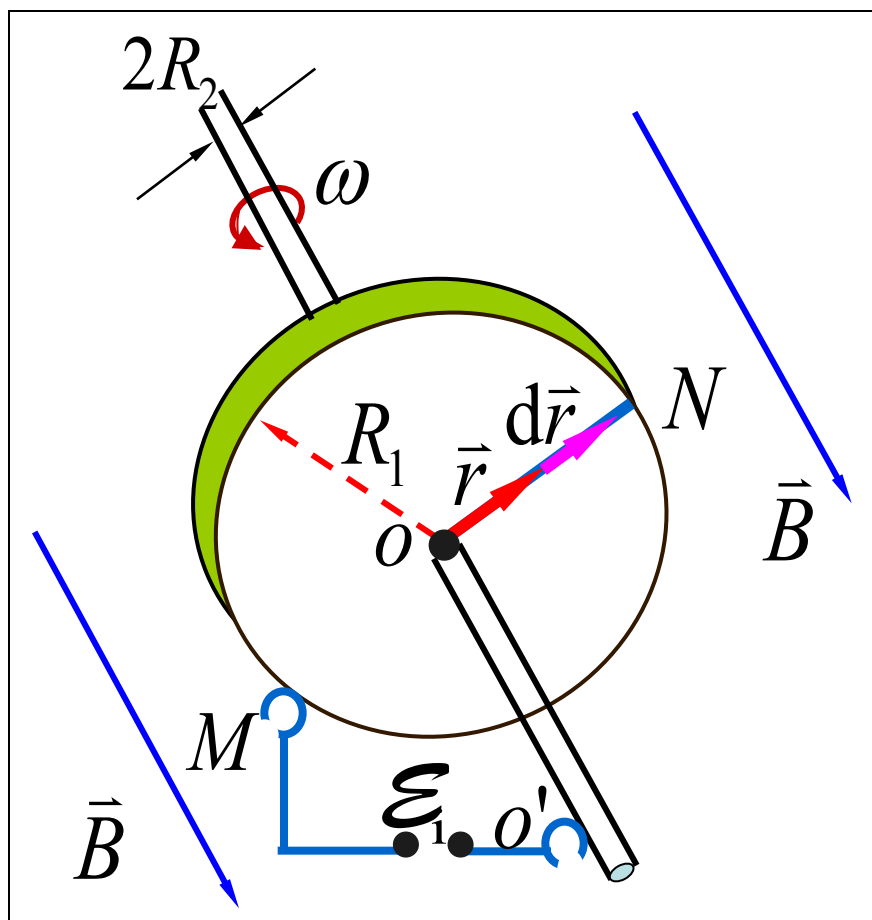
如图取线元 $d\vec{r}$



$$\begin{aligned} d\mathcal{E}_1 &= (\vec{v} \times \vec{B}) \cdot d\vec{r} \\ &= vBdr = r\omega B dr \end{aligned}$$



$$d\varepsilon_1 = (\vec{v} \times \vec{B}) \cdot d\vec{r} = vBdr = r\omega Bdr$$



$$\begin{aligned}\varepsilon_1 &= \int_{R_1}^{R_2} r\omega Bdr \\ &= \frac{1}{2}\omega B(R_1^2 - R_2^2)\end{aligned}$$

圆盘边缘的电势高于中心转轴的电势。

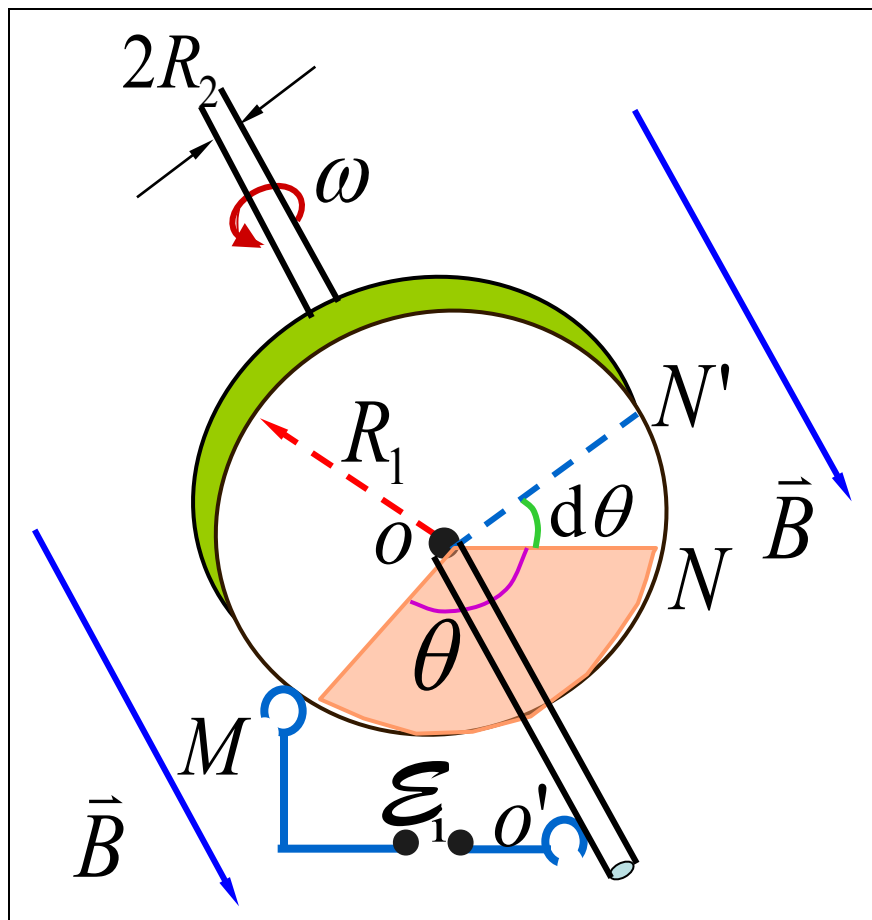


(方法二) 取一虚拟的闭合回路 $MNOM$

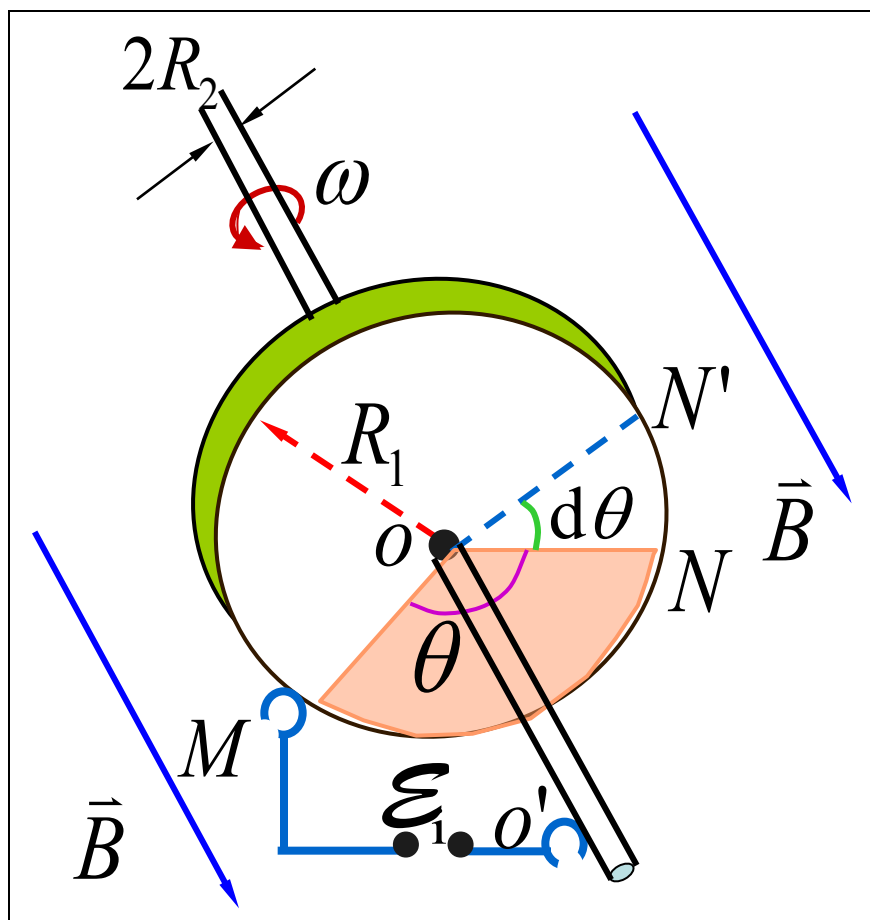
并取其绕向与 \vec{B} 相同.

则

$$\begin{aligned}\Phi &= B \frac{\theta}{2\pi} \pi (R_1^2 - R_2^2) \\ &= \frac{1}{2} B (R_1^2 - R_2^2) \theta\end{aligned}$$



设 $t=0$ 时点 M 与点 N 重合即 $\theta=0$



则 t 时刻 $\theta = \omega t$

$$\Phi = \frac{1}{2} B(R_1^2 - R_2^2) \omega t$$

$$\begin{aligned} \varepsilon_1 &= -\frac{d\Phi}{dt} \\ &= -\frac{1}{2} B(R_1^2 - R_2^2) \omega \end{aligned}$$

盘缘的电势高于中心



二 感生电动势

产生感生电动势的

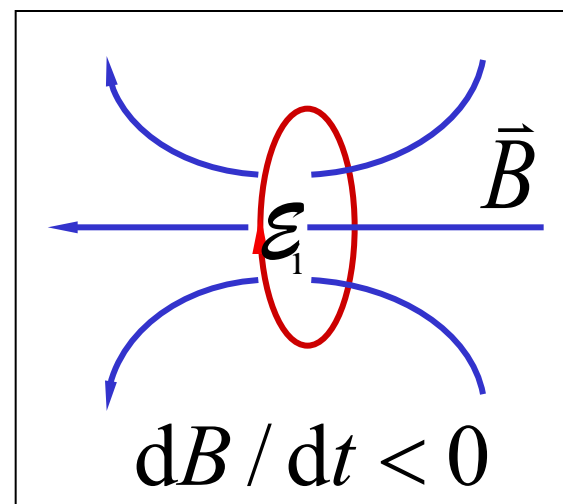
非静电场  感生电场

麦克斯韦假设 变化的磁场在其周围空间
激发一种电场——感生电场 \vec{E}_k .



闭合回路中的感生电动势

$$\mathcal{E}_i = \oint_L \vec{E}_k \cdot d\vec{l} = -\frac{d\Phi}{dt}$$



$$\Phi = \int_S \vec{B} \cdot d\vec{s} \quad \oint_L \vec{E}_k \cdot d\vec{l} = -\frac{d}{dt} \int_S \vec{B} \cdot d\vec{s}$$

$$\mathcal{E}_i = \oint_L \vec{E}_k \cdot d\vec{l} = -\int_S \frac{d\vec{B}}{dt} \cdot d\vec{s}$$

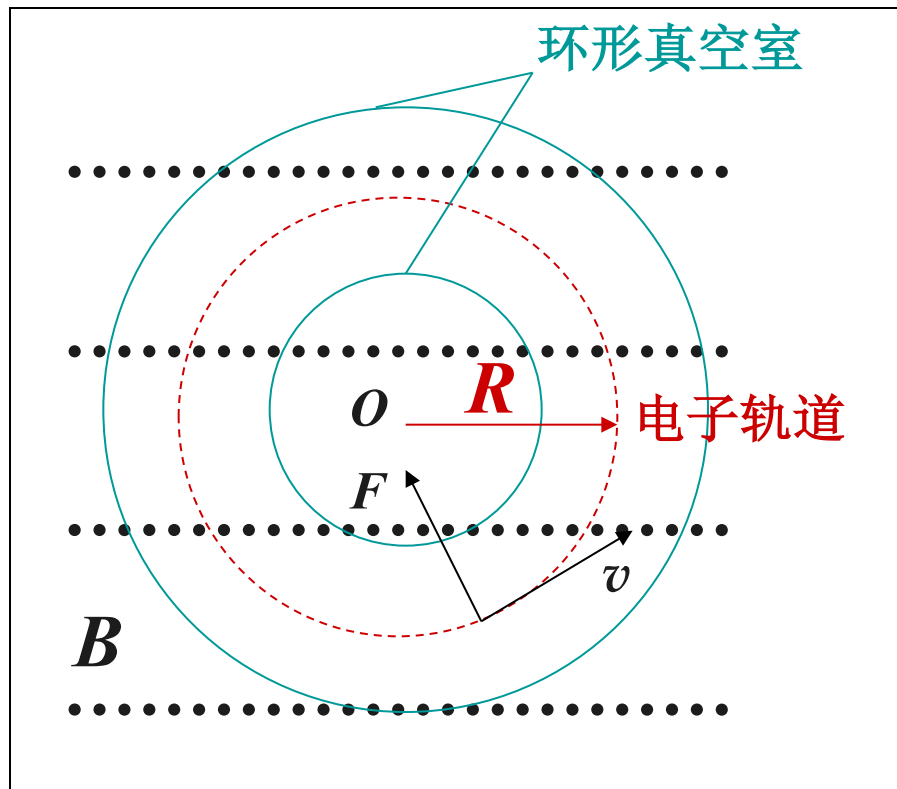
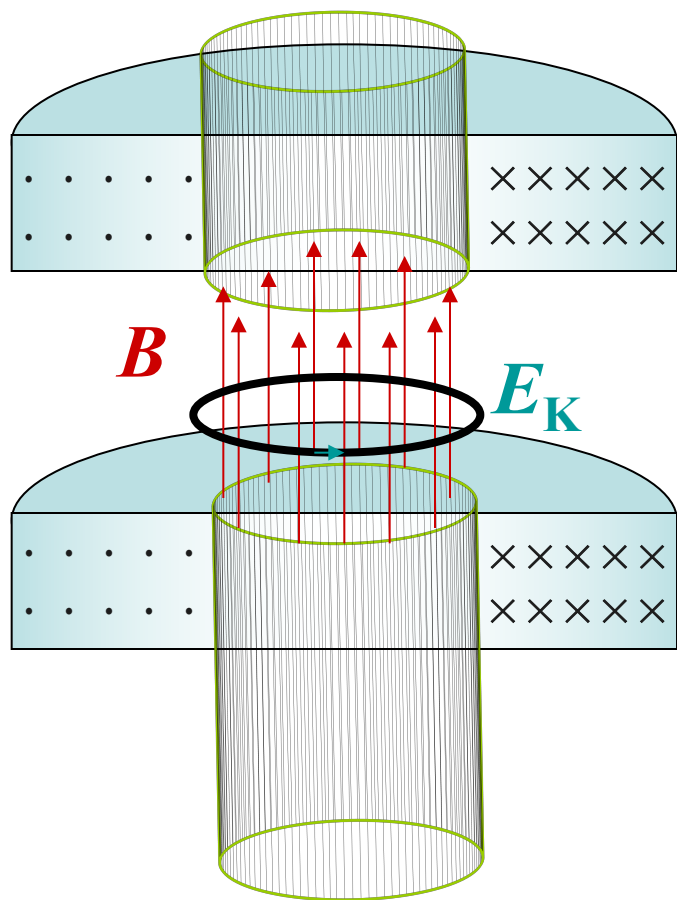


感生电场和静电场的对比

感生电场	静电场
非保守场	保守场
$\oint_L \vec{E}_k \cdot d\vec{l} = -\frac{d\Phi}{dt} \neq 0$	$\oint_L \vec{E}_{\text{静}} \cdot d\vec{l} = 0$
由变化的磁场产生	由电荷产生



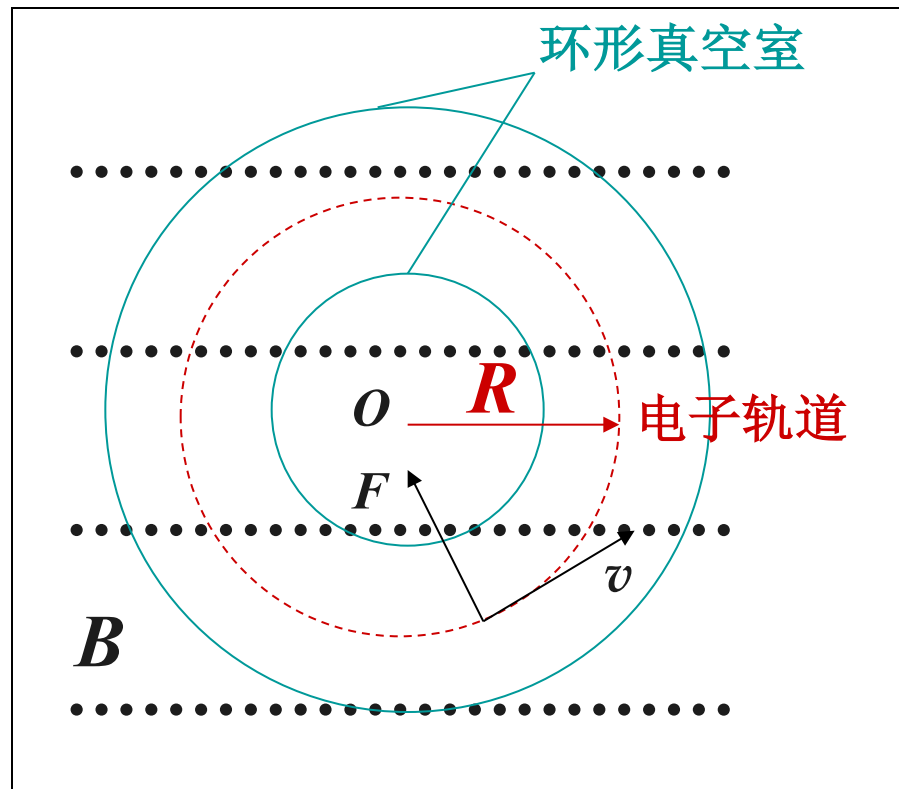
三 电子感应加速器



由洛伦兹力和
牛顿第二定律，有

$$evB_R = m \frac{v^2}{R}$$

$$R = \frac{mv}{eB_R} = \frac{p}{eB_R}$$



其中， B_R 为电子轨道所在处的磁感强度。



选择进入下一节:

8-1 电磁感应定律

8-2 动生电动势和感生电动势

8-3 自感和互感

*8-4 RL 电路

8-5 磁场的能量 磁场能量密度

8-6 位移电流

电磁场基本方程的积分形式

